

# BƯỚC ĐẦU KHẢO SÁT LÝ THUYẾT CƠ CHẾ PHẢN ỨNG CỦA GÓC ETINYL VỚI METANOL

Trần Quốc Trị<sup>1</sup>, Nguyễn Thị Minh Huệ<sup>2</sup>

<sup>1</sup>Khoa Hóa học Trường Đại học Đồng Tháp

<sup>2</sup>Khoa Hóa học và Trung tâm Khoa học Tính toán Trường DHSP Hà Nội

Đến Tờ soạn 5-02-2010

## Abstract

The reaction mechanism of the ethynyl radical ( $C_2H$ ) with methanol ( $CH_3OH$ ) has been studied by the Density Functional Theory (DFT) using the B3LYP functional in conjunction with the 6-311++G(d,p) and 6-311++G(3df,2p) basis sets. The potential energy surfaces describing these processes were been constructed. The products of ( $C_2H_2 - CH_3OH$ ), ( $C_2H_2 - CH_3O$ ), ( $HCCCH_2 - OH$ ), ( $HCC - CH_2OH$ ), ( $HCC(OH) - CH_2$ ), ( $CCHOH - CH_3$ ), ( $H_2CC - CH_2O$ ), ( $HCCCH_2OHtrans - H$ ), ( $HCCCH_2OHcis - H$ ), ( $HCC(C)CH_2OH - H$ ), ( $C_2H_2 - CH_2OH$ ) can be found. However, the present work indicates that the formation of ( $C_2H_2 - CH_2OH$ ), ( $C_2H_2 - CH_2O$ ) is the most favorable. Our results contribute to a more complete understanding about the reaction mechanism of the  $C_2H$  radical with  $CH_3OH$ .

## I. MÔ ĐÀU

Metanol ( $CH_3OH$ ) là một hóa chất phổ biến trong công nghiệp. Trong tự nhiên tồn tại một lượng nhỏ metanol do sự phân giải chất hữu cơ của vi sinh vật yếm khí và trong khí quyển của một số vì sao. Tính chất hóa học của metanol thuộc tính chất kinh điển của ancol đã được nghiên cứu đầy đủ từ rất sớm và gần đây có một số công trình nghiên cứu về phản ứng của metanol với thủy ngân (Hg) tạo nên gốc metoxy ( $CH_3O$ ) [1]. Với nguyên tử clo, brom tạo nên sản phẩm trong đó có  $CH_3OH$  và  $CH_3O$  [2, 3], với gốc OH tạo nên nhiều sản phẩm khác nhau [4]. Đặc biệt là nghiên cứu thực nghiệm và lý thuyết về cơ chế phản ứng của metanol với gốc  $CH$  tạo ra một hệ thống các sản phẩm phong phú và đa dạng [5, 6]. Các nghiên cứu trên đây đã cho thấy tính chất đa dạng về khả năng phản ứng của  $CH_3OH$ . Việc tiếp tục nghiên cứu cơ chế phản ứng của những tác nhân mới với  $CH_3OH$  là việc làm cần thiết và càng cần thiết hơn khi metanol ngày càng được sử dụng nhiều dưới dạng nhiên liệu.

Tiếp tục các nghiên cứu trước đây về phản ứng của gốc etinyl ( $C_2H$ ) với các hợp chất tồn tại trong khí quyển [7 – 14], bài báo này sẽ trình bày các kết quả bước đầu khảo sát về cơ chế phản ứng, dự đoán các sản phẩm có thể thu được cũng như các sản phẩm ưu tiên của hệ phản ứng giữa gốc etinyl với metanol.

## 2. PHƯƠNG PHÁP TÍNH

Tất cả các tính toán được thực hiện bằng phần mềm Gaussian 03 [15]. Cấu trúc hình học của các

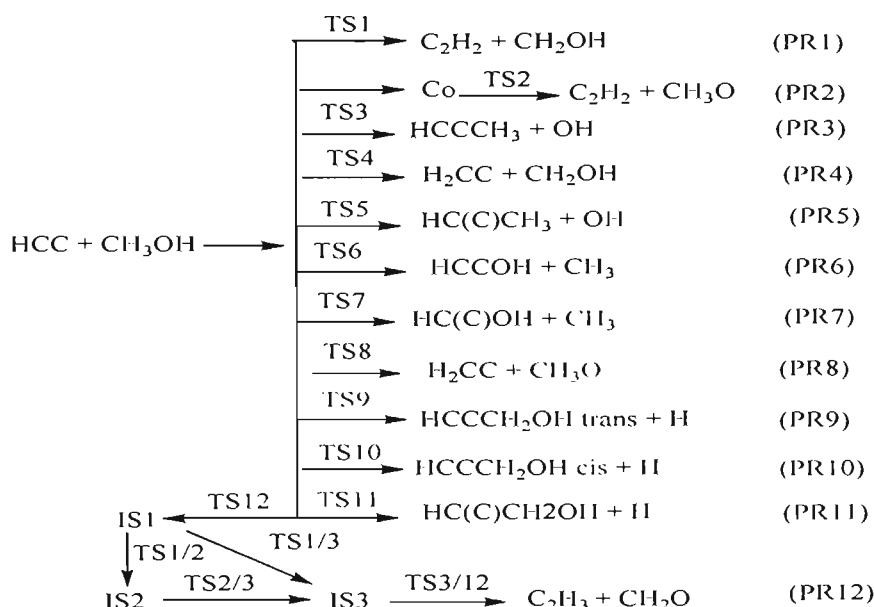
chất đều được tối ưu theo phương pháp phiếm hâm mật độ ở mức UB3LYP/6-311++G(d,p). Sự xác định đúng một trạng thái chuyển tiếp tìm được ngoài việc phân tích tần số dao động cũng có thể được kiểm tra thêm bằng cách tính tọa độ nội phản ứng (IRC). Năng lượng điểm đơn được tính ở mức cao hơn UB3LYP 6-311++G(3df,2p). Kết quả thu được sẽ cho phép thiết lập bề mặt thế năng và từ đó biết được thứ tự ưu tiên của mỗi đường phản ứng.

## 3. KẾT QUẢ VÀ THAO LUAN

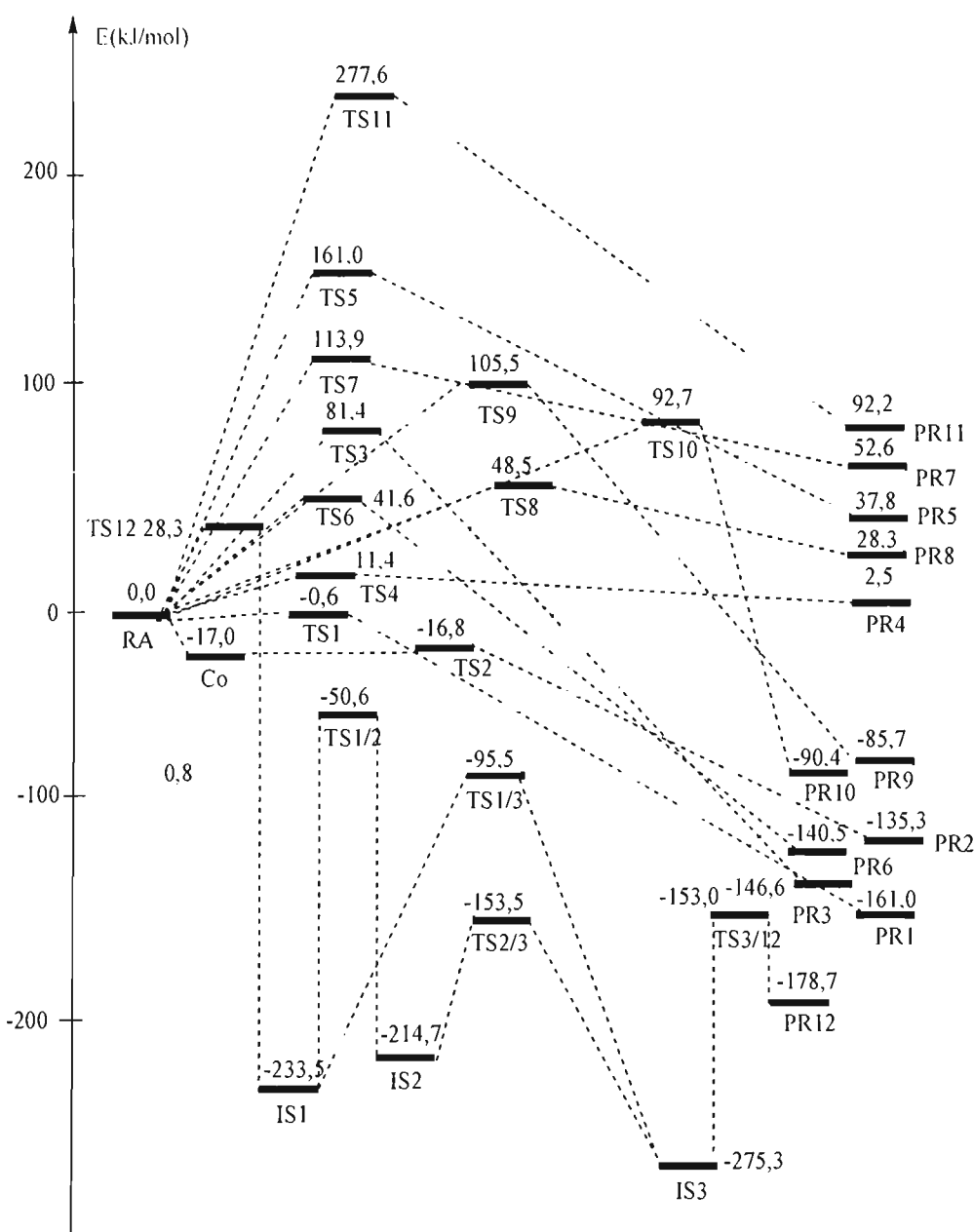
### 3.1. Bề mặt thế năng của phản ứng

Có 12 đường phản ứng được khảo sát và mô tả chi tiết trong sơ đồ hình 1.

Quan sát trên bề mặt thế năng (được trình bày ở hình 2), trong nhóm các phản ứng một giai đoạn (phản ứng tạo thành các sản phẩm từ PR1 đến PR11) hệ chất phản ứng chỉ trai qua một trạng thái chuyển tiếp duy nhất. Giá trị hàng rào năng lượng (từ -16.8 kJ/mol của TS2 đến 277.6 kJ/mol đối với TS11) cho thấy các phản ứng thuộc nhóm này có sự khác biệt lớn về khả năng xảy ra. Thứ tự ưu tiên tạo ra các sản phẩm theo trật tự: PR2 > PR1 > PR4 > PR6 > PR8 > PR3 > PR10 > PR9 > PR7 > PR5 > PR11. Trong tất cả các phản ứng này, phản ứng tạo PR11 khó khăn nhất. Sự thuận lợi đối với phản ứng tạo sản phẩm PR1, PR2 phù hợp với kết quả nghiên cứu trước đây [2 – 4]. Ngoài ra các phản ứng 3, 4, 6, 8 và 10 cũng là những đường phản ứng cần được quan tâm. Sản phẩm trung gian IS1 được hình thành khi hệ chất phản ứng đi qua trạng thái chuyển tiếp TS12. Đây là một giai đoạn quan trọng trong toàn bộ cơ



Hình 1: Sơ đồ cơ chế phản ứng giữa  $\text{C}_2\text{H}$  và  $\text{CH}_3\text{OH}$   
(Co: phức trung gian; TS: trạng thái chuyển tiếp; IS: Sản phẩm trung gian; PR: sản phẩm)



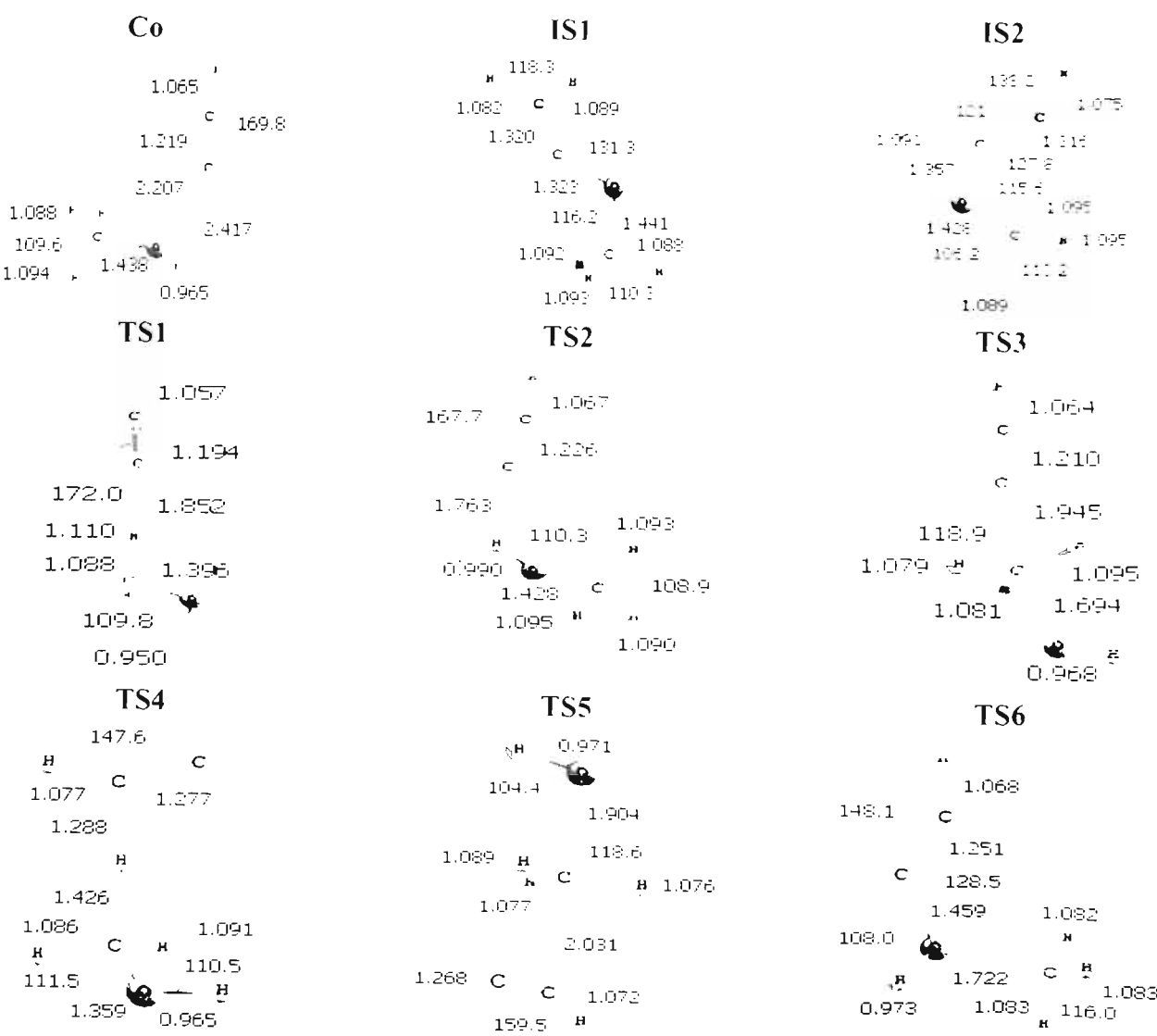
Hình 2: Bề mặt thế năng của phản ứng giữa  $\text{C}_2\text{H}$  và  $\text{CH}_3\text{OH}$

ché của phản ứng này, bởi vì từ đây hệ các chất trai qua nhiều quá trình biến đổi dễ tạo ra nhiều sản phẩm khác nhau. Sự hình thành trạng thái chuyển tiếp TS12 được thực hiện do sự tách công đồng thời của hai nguyên tử cacbon trong gốc  $C_2H$  vào nhóm OH của metanol do đó liên kết O-H bị kéo dài ra ( $d = 1,198 \text{ \AA}$  so với  $0,960 \text{ \AA}$ ) đồng thời liên kết C-C trong  $C_2H$  cũng bị kéo dài ra ( $d = 1,29 \text{ \AA}$  đây là mức trung gian giữa liên kết ba C-C và liên kết đôi C=C). Khoảng cách C-O bằng  $1,568 \text{ \AA}$  và C-H bằng  $1,506 \text{ \AA}$  đây là những khoảng cách thích hợp cho quá trình hình thành các liên kết mới. Các thông tin về cấu trúc xét ở trên khi kết hợp với kết quả tính tần số dao động ( $\tilde{\nu} 1822,38 \text{ cm}^{-1}$ ) và độ nhiễm spin ( $S^2 = 0,755$ ) đã khẳng định cấu trúc TS12 là trạng thái chuyển tiếp cho sự hình thành sản phẩm trung gian IS1. Mặt khác, giá trị về hàng rào năng lượng ( $28,3 \text{ kJ/mol}$ ) của trạng thái chuyển tiếp này cùng với giá trị rất thấp về năng lượng của IS1 ( $-233,5 \text{ kJ/mol}$ ) so với hệ chất phản ứng, cho phép khẳng định sự tạo thành IS1 là hoàn toàn thuận lợi.

Sản phẩm trung gian IS2 được hình thành từ IS1, quá trình đồng phân hóa này đi qua trạng thái chuyển tiếp TS1/2, trạng thái ứng với sự chuyển vị nguyên tử hidro, khoảng cách C-H làn lượt bằng

$1,379$  và  $1,262 \text{ \AA}$ . Hàng rào năng lượng của TS1/2 bằng  $-50,6 \text{ kJ/mol}$ . Từ IS2 qua trạng thái chuyển tiếp TS2/3 cũng là trạng thái ứng với sự chuyển vị nguyên tử hidro. Cấu trúc của TS2/3 được xác nhận bằng khoảng cách C-H tương ứng với sự chuẩn bị dứt ra và sắp hình thành liên kết tương ứng bằng  $1,337$  và  $1,391 \text{ \AA}$ ; tần số dao động cũng với độ nhiễm spin lần lượt là  $\tilde{\nu} 1803,32 \text{ cm}^{-1}$  và  $0,760$ . Hàng rào năng lượng của TS2/3 bằng  $-153,5 \text{ kJ/mol}$ . IS3 cũng có thể được tạo thành từ IS1 thông qua trạng thái chuyển tiếp TS1/3 với giá trị hàng rào năng lượng là  $-95,5 \text{ kJ/mol}$ . Như vậy, từ IS1 có hai hướng để hình thành nên IS3, kết quả tính cho thấy sự chuyển trực tiếp IS1 thành IS3 là thuận lợi về mặt năng lượng hơn so với hướng đi qua IS2. Từ IS3 qua trạng thái chuyển tiếp TS3/2 ứng với sự cắt đứt liên kết C-O tạo nên sản phẩm PR12( $C_2H - HCHO$ ). hàng rào năng lượng của TS3/2 là  $-153,0 \text{ kJ/mol}$  và năng lượng của PR12 là  $-178,7 \text{ kJ/mol}$ . Các giá trị này cho phép dự đoán đường phản ứng 12 rất có khả năng xảy ra.

Cấu trúc hình học đã tối ưu hóa đối với các chất trung gian và một số trạng thái chuyển của các quá trình trên được minh họa ở hình 3 (cấu trúc TS1 được tối ưu hóa bằng BHandHYP).



Hình 3: Cấu trúc chất trung gian và một số trạng thái chuyển tiếp của  $C_2H$  và  $CH_3OH$  ...

TS7	TS8	TS9
117.5 H 1.081	151.6 H	H 1.064
1.080 C H 1.081	C 1.276 C 1.076	173.1 C
118.1	1.302	1.213
2.016 0.976	1.262	C 156.6
H — H	114.0	1.799
1.453 106.2	113.0 H	1.101 1.101
1.083 C 117.2	1.094 H 1.397	1.419 H C 1.280
H C 1.314	1.096 104.6	0.963 H 108.0 H
131.5 C	H 1.100	
TS10	TS11	TS12
H 1.064	H	H 1.076
C 174.2	1.084 1.637	137.0 C
1.215	0.965 H C H	1.290 1.506
156.2 C	1.357 1.083	C H
1.781	2.000	1.568 1.198
107.0 H	C	H 1.444
1.101 H C 0.965	1.264 C	108.1 C H
1.301 1.414	161.3 H	0.990 1.093
H 1.974	1.071	1.089
TS1/2	TS2/3	TS1/3
1.379 118.8 H	115.3 H	H 1.088
H C 1.090	1.088 C 1.089	C 1.378
1.262 C 1.350	1.337 1.414	1.437 /
1.324 130.4	H 107.9	1.886 H
H 117.6	1.391 1.373	1.358 C 1.400
1.454	1.326	132.6 1.322
1.092 H C ..H	131.6 C C 113.6	120.7 C 120.4
1.088 1.091	H 134.2 H 1.083	H 119.0 1.080
H 110.8	1.077	1.087
IS3	TS3/12	
H 1.079	H 1.100	
113.1 C 122.6	H C 121.2	
1.357 H 1.083	1.100 1.242	
H 120.3	118.3 H	
1.369 127.2	1.092 2.014	
109.6 C 1.332 H	1.302	
H 123.2 C 1.081	116.4 C C 103.7	
1.082 118.7 117.9	H 141.2 H	
H 1.081	1.090 1.076	

Hình 3: Cấu trúc chất trung gian và một số trạng thái chuyên tiếp của  $\text{C}_2\text{H}$  và  $\text{CH}_3\text{OH}$  [Độ dài liên kết ( $\text{\AA}$ ), góc liên kết ( $^\circ$ ), dấu chấm thay cho dấu phẩy chỉ phần thập phân]

### 3.2. Thông số nhiệt động học

Kết quả tính các thông số nhiệt động học cho mươi hai đường phản ứng của hệ  $\text{C}_2\text{H} + \text{CH}_3\text{OH}$  được trình bày trong bảng dưới đây:

Bảng giá trị các thông số nhiệt động học của hệ  $C_2H$  với  $CH_3OH$ 

Đường phản ứng	$\Delta H^\circ$ , kJ/mol	$\Delta G^\circ$ , kJ/mol	$\Delta S^\circ$ , J/mol.K
PR1 ( $C_2H_2 + CH_3OH$ )	-161,6	-158,0	-6,7
PR2 ( $C_2H_2 + CH_3O$ )	-135,3	-133,5	-18,3
PR3 ( $HCCCH_3 + OH$ )	-146,6	-145,8	-20,9
PR4 ( $H_2CC + CH_3OH$ )	2,5	1,0	7,8
PR5 ( $HC(C)CH_3 + OH$ )	37,8	34,2	-4,1
PR6 ( $HCCOH + CH_3$ )	-140,9	-135,3	2,5
PR7 ( $HC(C)OH + CH_3$ )	52,6	53,5	2,4
PR8 ( $H_2CC + CH_3O$ )	28,3	24,5	4,0
PR9 ( $HCCCH_2OH_{trans} + H$ )	-85,7	-75,5	-50,7
PR10 ( $HCCCH_2OH_{cis} + H$ )	-90,4	-70,1	-55,7
PR11 ( $HC(C)CH_2OH + H$ )	92,2	103,9	-4,2
PR12 ( $C_2H_2 + CH_2O$ )	-178,7	-194,4	2,6

Trong số 12 phản ứng được khảo sát, các phản ứng 1, 2, 3, 6, 9, 10 và 12 là có khả năng xảy ra ở điều kiện tiêu chuẩn do biến thiên thế năng nhiệt-đổng áp có giá trị âm ( $\Delta G^\circ < 0$ ). Các phản ứng còn lại không có khả năng tự xảy ra ( $\Delta G^\circ > 0$ ). Trong số các phản ứng không xảy ra, phản ứng 5 và 11 là những phản ứng hoàn toàn không thể xảy ra (về mặt nhiệt động học) ở bất kỳ nhiệt độ nào do yếu tố entanpi và yếu tố entropi đều can trở. Các phản ứng 4, 7 và 8 không xảy ra ở 298 K nhưng lại có khả năng xảy ra ở nhiệt độ cao hơn (do biến thiên entanpi và biến thiên entropi đều có giá trị dương).

#### 4. KẾT LUẬN

Bước đầu chúng tôi đã xác định được mươi hai đường phản ứng thông qua việc thiết lập bề mặt thế năng cho hệ  $C_2H$  và  $CH_3OH$ . Các kết quả tính được cho thấy, trong mươi hai đường phản ứng có hai đường phản ứng không có khả năng xảy ra về mặt nhiệt động học đó là các đường phản ứng 5 và 11, các đường phản ứng còn lại đều có thể xảy ra. Trong số này, các đường phản ứng 1, 2, 3, 9 và 10 ưu tiên xảy ra ở nhiệt độ thấp; các phản ứng 4, 7 và 8 không thuận lợi ở nhiệt độ thấp nhưng có khả năng xảy ra ở nhiệt độ cao hơn; các phản ứng 1, 2, 3, 6 và 12 là thuận lợi nhất về mặt nhiệt động học. Ngoài ra, các thông số cấu trúc, nhiệt động kèm theo cũng được xác định và thảo luận chi tiết.

Trân trọng cảm ơn Nafosted Việt Nam tài trợ cho công trình này thông qua đề tài, mã số 104.03.2010.29.

#### TAI LIỆU THAM KHẢO

- Arthur R. Knight, Harry E. Gunning. Canadian Journal of Chemistry, Vol. 39 (1961).

- Bo Zhen CHEN, Ming Bao HUANG. Chinese Chemical Letters, Vol. 12(8), 727 - 730 (2001).
- S. Dóbel, T. Béreces, T. Turányi, and F. Márta. J. Phys. Chem., 100(51), 19864 - 19873 (1996).
- Piotr Ulanski, Clemens von Sonntag. J. Chem. Soc., Perkin Trans., 2, 165 - 168 (1999).
- D. G. Johnson, M. V. Blitz and P. W. Seakins. Phys. Chem. Chem. Phys., 2, 2549 - 2553 (2000).
- Xiu-bin Zhang, Jian-jun Liu, Ze-sheng Li, Jing-yao Liu, and Chia-chung Sun. J. Phys. Chem. A, 106, 3814 - 3818 (2002).
- R. Sumathi and M. T. Nguyen. J. Phys. Chem. A, 102, 8013 (1998).
- Benny Ceusters, Hue Minh Thi Nguyen, Jozef Peeters, and Minh Tho Nguyen. Chemical Physics, 262(2-3), 243 - 252 (2000).
- Benny Ceusters, Hue Minh Thi Nguyen, Jozef Peeters, and Minh Tho Nguyen. Chemical Physics Letters, 329(5-6), 412 - 420 (2000).
- Benny Ceusters, Hue Minh Thi Nguyen, M. T. Nguyen, J. Peeters, and L. Vereccken. Physical Chemistry-Chemical Physics, 3, 3070 - 3074 (2001).
- Jozef Peeters, Benny Ceusters, Hue Minh Thi Nguyen and Minh Tho Nguyen. Journal of Chemical Physics, 116, 3700 - 3709 (2002).
- Shaun A. Carl, Hue Minh Thi Nguyen, Minh Tho Nguyen, and Jozef Peeters. Journal of Chemical Physics, 118(24), 10996 - 11008 (2003).
- Hue Minh Thi Nguyen, Asit K. Chandra, Jozef Peeters, and Minh Tho Nguyen. Journal of Physical Chemistry A, 108(3), 484 - 489 (2004).
- Shaun A. Carl, Hue Minh Thi Nguyen, Rehab Ibrahim M. Elsamra, Minh Tho Nguyen, and Jozef Peeters. Journal of Chemical Physics, 122, 114307 (2005).
- Trần Quốc Trị, Nguyễn Thị Minh Huệ, Trần Văn Tân, Trần Thành Hué. Tạp chí Hóa học, T. 47(6A), 394 - 399 (2009).
- M. J. Frisch, G. W. Trucks, H. B. Schlegel, ...., J. A. Pople, Gaussian, Inc., Pittsburgh PA (2003).